

3次元弾塑性非軸対称問題の一数値解法

大阪工業大学

正員 ○岡村宏一

東洋技研コンサルタントKK

正員 島田 功

1. まえがき： 3次元弾塑性非軸対称問題の分野には、力学上、多くの興味のある問題が含まれているにもかかわらず、その解析の困難さのためか、現在、ほとんど研究されていない。この種の問題に廻し、目下のところ有限要素法が唯一に近いアプローチの方法とみなされているようであるが、計算機が大型化した昨今でも、その演算は困難である。このような見地からすれば、有限要素法のみならず、より高精度、かつ実用的な解法が研究されてよいと思う。

さて、筆者はすでに、板、あるいはシャイベルの弾塑性問題を高精度で解析できる1つの解法を発表した。¹⁾ この解法では、非線形の基礎式の取扱いに関して、塑性変形に対応する物理量は、板内点を囲む比較的小さい有限領域で平均値を持つものとみなし、変形、応力を十分な精度を持つ連続解で与える線形化の手法を用いた。一方、3次元弾性問題の解析に有効な方法として、Mindlinのオ1、オ2問題の解を、水平、垂直、および斜め方向の有限な長方形面に積分したものを基本解とし、それらの組み合わせによって、半無限弾性体内に任意の調整面、ならびに調整力の分布を与え、任意の境界面を作り出すことできる1つの実用解法を発表した。²⁾

本文は、これらの解法をさらに拡張して組み合せた3次元弾塑性非軸対称問題の解析に有用と思われる1つの数値解法と、その応用例の1部について述べる。

2. 解法： 解法上の仮定として、材料は等方性、かつ弾完全塑性体とし、応力とひずみの関係は、Plandtle-Reussの方程式に支配されるものとする。

さて、3次元体の微少エレメントについて、応力成分を $\sigma_x, \sigma_y, \sigma_z, \tau_{xy}, \tau_{yz}, \tau_{xz}$ とし、変位、および、ひずみのそれらを u, v, w 、ならびに $\varepsilon_x, \varepsilon_y, \varepsilon_z, \gamma_{xy}, \gamma_{yz}, \gamma_{xz}$ とすれば、全ひずみの変化速度 $\{\dot{\varepsilon}\}$ は、弾性、および塑性成分、 $\{\dot{\varepsilon}_e\}, \{\dot{\varepsilon}_p\}$ からなるものとし、それを次のように書き表わす。

$$\{\dot{\varepsilon}\} = \{\dot{\varepsilon}_e\} + \{\dot{\varepsilon}_p\} = [D]^{-1} \{\dot{\varepsilon}\} + \{\dot{\varepsilon}_p\} \quad (1)$$

式中、 $[D]$ は弾性マトリックス、また、以下の諸式で G はせん断弾性係数、 $\lambda = \frac{YE}{(1+\nu)(1-2\nu)}$
 E : ヤング係数、 ν : ポアソン比とする。

いま、降伏条件を塑性ポテンシャル f とすれば、 $\{\dot{\varepsilon}_p\}$ はflow ruleにより

$$\{\dot{\varepsilon}_p\} = \mu \frac{\partial f}{\partial \{\varepsilon\}} \quad (2) \quad \mu: \text{塑性変形中変化するスカラー量}$$

- 1) 岡村、吉田：大たわみ、およびリブの補剛を考慮した長方形鋼板の弾塑性解析、土木学会論文報告集、No. 196, 1971.
- 2) 岡村、島田：3次元弾性問題の一数値解法とその応用、同、No. 199, 1972.

したがって $\{\dot{\varepsilon}\} = [D]^{-1} \{\dot{\gamma}\} + \mu \frac{\partial f}{\partial \{\gamma\}}$ ----- (3)

ここで、微小エレメントに関する周知の釣合式を時間微分したのち、それらに、(3)より得られる応力成分の変化速度を代入し、さらに、0からtまでの時間積分を行えば、結局、釣合方程式は次のように書かれる。

$$\left. \begin{aligned} (\lambda + G) \left(\frac{\partial^2 u}{\partial x^2} + \frac{\partial^2 v}{\partial x \partial y} + \frac{\partial^2 w}{\partial z \partial x} \right) + G \nabla^2 u &= - \int_0^t X(x, y, z) dt \\ (\lambda + G) \left(\frac{\partial^2 u}{\partial x \partial y} + \frac{\partial^2 v}{\partial y^2} + \frac{\partial^2 w}{\partial y \partial z} \right) + G \nabla^2 v &= - \int_0^t Y(x, y, z) dt \\ (\lambda + G) \left(\frac{\partial u}{\partial z \partial x} + \frac{\partial v}{\partial z \partial y} + \frac{\partial w}{\partial z^2} \right) + G \nabla^2 w &= - \int_0^t Z(x, y, z) dt \end{aligned} \right\} ----- (4)$$

式(4)の右辺、すなわち、時間に関する積分項は、釣合方程式の性格から、Body Force と同様の意味を持つ物理量であることがわかる。また、それそれの被積分関数は、塑性変形中の体積変化が0であることを考慮して以下のように求まる。

$$\left. \begin{aligned} X(x, y, z) &= -G \left\{ 2 \frac{\partial}{\partial x} \left(\mu \frac{\partial f}{\partial \tau_{xy}} \right) + \frac{\partial}{\partial y} \left(\mu \frac{\partial f}{\partial \tau_{xz}} \right) + \frac{\partial}{\partial z} \left(\mu \frac{\partial f}{\partial \tau_{yz}} \right) \right\} \\ Y(x, y, z) &= -G \left\{ \frac{\partial}{\partial x} \left(\mu \frac{\partial f}{\partial \tau_{xy}} \right) + 2 \frac{\partial}{\partial y} \left(\mu \frac{\partial f}{\partial \tau_{yz}} \right) + \frac{\partial}{\partial z} \left(\mu \frac{\partial f}{\partial \tau_{xz}} \right) \right\} \\ Z(x, y, z) &= -G \left\{ \frac{\partial}{\partial x} \left(\mu \frac{\partial f}{\partial \tau_{xz}} \right) + \frac{\partial}{\partial y} \left(\mu \frac{\partial f}{\partial \tau_{yz}} \right) + 2 \frac{\partial}{\partial z} \left(\mu \frac{\partial f}{\partial \tau_{xy}} \right) \right\} \end{aligned} \right\} ----- (5)$$

ところで、本文では、降伏条件として von Mises Type の ϵ を用いた。すなわち、

$$f = \frac{1}{2 \tilde{\sigma}_p^2} \left\{ (\tilde{\sigma}_x - \tilde{\sigma}_y)^2 + (\tilde{\sigma}_y - \tilde{\sigma}_z)^2 + (\tilde{\sigma}_z - \tilde{\sigma}_x)^2 + 6(\tau_{xy}^2 + \tau_{yz}^2 + \tau_{xz}^2) \right\} = 1 ----- (6)$$

$\tilde{\sigma}_p$: 降伏応力

したがって、式(4)の時間積分を荷重段階 i の和に置換すれば

$$\left. \begin{aligned} \bar{X} &= \int_0^t X(x, y, z) dt = -\frac{2G}{\tilde{\sigma}_p^2} \sum_i \left[\frac{\partial}{\partial x} \left\{ \mu (2\tilde{\sigma}_x - \tilde{\sigma}_y - \tilde{\sigma}_z) \right\} + 3 \left\{ \frac{\partial}{\partial y} (\mu \tau_{xy}) + \frac{\partial}{\partial z} (\mu \tau_{xz}) \right\} \right]_i \\ \bar{Y} &= \int_0^t Y(x, y, z) dt = -\frac{2G}{\tilde{\sigma}_p^2} \sum_i \left[\frac{\partial}{\partial y} \left\{ \mu (2\tilde{\sigma}_y - \tilde{\sigma}_x - \tilde{\sigma}_z) \right\} + 3 \left\{ \frac{\partial}{\partial x} (\mu \tau_{xy}) + \frac{\partial}{\partial z} (\mu \tau_{yz}) \right\} \right]_i \\ \bar{Z} &= \int_0^t Z(x, y, z) dt = -\frac{2G}{\tilde{\sigma}_p^2} \sum_i \left[\frac{\partial}{\partial z} \left\{ \mu (2\tilde{\sigma}_z - \tilde{\sigma}_x - \tilde{\sigma}_y) \right\} + 3 \left\{ \frac{\partial}{\partial x} (\mu \tau_{xz}) + \frac{\partial}{\partial y} (\mu \tau_{yz}) \right\} \right]_i \end{aligned} \right\} ----- (7)$$

前述のように、これら塑性変形に従属する物理量、 \bar{X} 、 \bar{Y} 、 \bar{Z} は Body Force と同じ性格を持つ。ここで、前論文¹⁾で示した解法と同様な思想にとづく手法を導入する。すなわち、弾性体内の塑性化した点(i)を包む比較的小さい有限な容積(図-2 の $\Delta x \times \Delta y \times \Delta z$)では、これらの物理量は平均値を持つとのとみなす。そうすれば、このような有限な容積内で均一な密度分布を持つ単位の Body Force ($\bar{X}_i = \bar{Y}_i = \bar{Z}_i = 1$) による弾性体内の任意点の応力、あるいは変位は、図-1 に示すような Mindlin α_1 、および α_2 向問題の解を、この容積に関して3重積分であることによって得られる。この種の積分を逐行するにあたって、本文では、すでに前論文²⁾に示したように、長方形面に対しては厳密な2重積分を行ない、これに直角な方向の積分は和分による方法を用いた。

以上により、 i 点が塑性化した場合、この点にあける \bar{X}_i , \bar{Y}_i , \bar{Z}_i の諸量を定めることができれば、 i 点の塑性変形が弾性体内的任意点の応力、および変位における影響値を求めることができる。

ところで、これら \bar{X} , \bar{Y} , \bar{Z} は、式(7)に示されるように、未定係数 μ 、およびその時点での応力の 1 次微分を陰関数として含んでいる。

さて、 \bar{X} , \bar{Y} , \bar{Z} を線形化するために、前論文¹⁾で示したように、部分的に差分法が用いられる。すなわち、塑性化した i 点、ならびに周囲の 6 点について図-3 に示すネットを考え、逐次計算のための過程で、これら各点の応力の近似値が与えられたとすれば、 \bar{X}_i , \bar{Y}_i , \bar{Z}_i はこの時点にあける各点の μ の 1 次関数として次のように表わされる。(もちろん、弹性域にあける点では $\mu = 0$ である。)

$$(\bar{X}_i)_j = -\frac{G}{\rho_p} \left[\frac{1}{\Delta x} \{ \mu_{i(1,0)} (2\bar{x} - \bar{y} - \bar{z})_{i(1,0)} - \mu_{i(1,0)} (2\bar{x} - \bar{y} - \bar{z})_{i(1,0)} \} + \frac{3}{\Delta y} \{ \mu_{i(0,1)} (\bar{T}_{xy})_{i(0,1)} - \mu_{i(0,1)} (\bar{T}_{xy})_{i(0,1)} \} + \frac{3}{\Delta z} \{ \mu_{i(1)} (\bar{T}_{xz})_{i(1)} - \mu_{i(1)} (\bar{T}_{xz})_{i(1)} \} \right] \quad (8)$$

$(\bar{Y}_i)_j$, $(\bar{Z}_i)_j$ も同様に求まるが、紙面の都合で省略する。

このようにして、塑性変形による応力、あるいは変位は μ を 1 次で含んだ連続解の形となる。さらに、外荷重による応力、あるいは変位として、Boussinesq, Cerruti の解を積分したものと線形結合させる。各時点で、塑性化した各点にあける μ が、降伏条件 [式(6)] を満足するように繰返し計算によって定まり、同時に各点の応力が収束すれば問題は解決する。なお、3 次元体内に境界面を持つ場合は、すでに、前論文²⁾で述べたような調整力の分布を与え、境界条件を同時に満足するようにこれらを定めればよい。

逐次計算の操作を簡単に述べる。いま、任意点 i で $f_i < 1$ ならば弾性経路であり、この時点では $\mu_i = 0$ である。塑性化してあれば $f_i = 1$ である。

さて、荷重段階 $j-1$ から j に移項する時点について説明する。ここで、 $j-1$ 段階にあけるすべての諸量は確定したとのとする。塑性項を $j-1$ 段階に止め、 j 段階に荷重を増加させ、この荷重増分に対して弾性解析が行はれて各要素のひずみ増分 $\Delta\varepsilon$ と応力増分 $\Delta\sigma$ が求められる。そこで、 $(f)_{j-1}$ に加えて $(f)_{j,1}$ を得る。 $(f)_{j,1}$ を計算し、いくつかの点で $(f)_{j,1} > 1$ になったとする。これらの塑性化した各点で $f = 1$ になるように、 $(\mu)_{j,1}$ を次のように求めめる。 $(f)_{j,1}$ に対して、 \bar{X} , \bar{Y} , \bar{Z} のオーバー近似値が $(\mu)_{j,1}$ の 1 次関数として得られる。結局、 \bar{X} , \bar{Y} , \bar{Z} のみによる応力の変化量 $\Delta\sigma$ が $(\mu)_{j,1}$ の 1 次関数として表わされる。つぎに、 $\Delta\sigma$ により塑性ポテンシャルが $(f)_{j,1}$ だけ変化するものとすれば、塑性化した各点で $(f)_{j,1} + (\Delta f)_{j,1} = 1$ でなければならぬ。 $(\mu)_{j,1}$ は $(\Delta f)_{j,1}$ の 2 次の

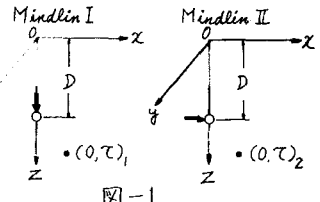


図-1

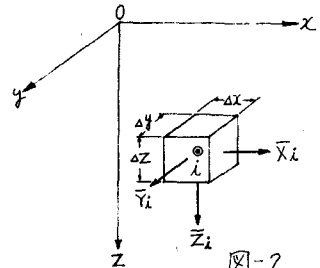


図-2

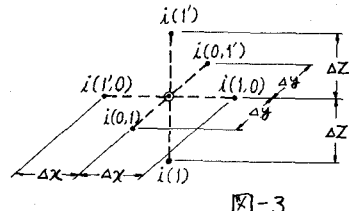


図-3

項を無視して線形化された降伏条件式により、塑性域に於ける各点で要求される下記の連立方程式から求まる。

$$1 - (f)_{j+1} = \frac{1}{\Delta z^2} \left\{ (\bar{\sigma}_x)_{j+1} (2 \Delta \bar{\sigma}_x - \Delta \bar{\sigma}_y - \Delta \bar{\sigma}_z)_{j+1} + (\bar{\sigma}_y)_{j+1} (2 \Delta \bar{\sigma}_y - \Delta \bar{\sigma}_z - \Delta \bar{\sigma}_x)_{j+1} + (\bar{\sigma}_z)_{j+1} (2 \Delta \bar{\sigma}_z - \Delta \bar{\sigma}_x - \Delta \bar{\sigma}_y)_{j+1} + 6 (\tau_{xy} \Delta \tau_{xy} + \tau_{yz} \Delta \tau_{yz} + \tau_{xz} \Delta \tau_{xz})_{j+1} \right\} \quad (9)$$

再び、 \bar{x} 、 \bar{y} 、 \bar{z} を修正して収束するまで繰返し演算を行なう。

3 計算例： 計算例の一部を示す。ここに掲げた例題は、表面近くの局所的な塑性化の模様を調べる類のもので、半無限体で、その表面に正方形等分布荷重を受ける場合を計算した。材料の諸定数は鋼材のものを用いた。図-4は、載荷面の大きさと、分割された有限容積の配置を示したものである。

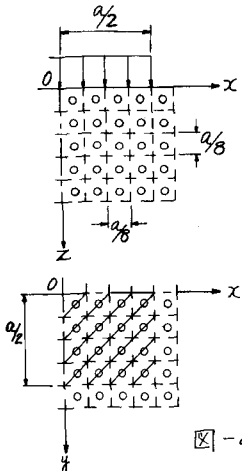


図-4

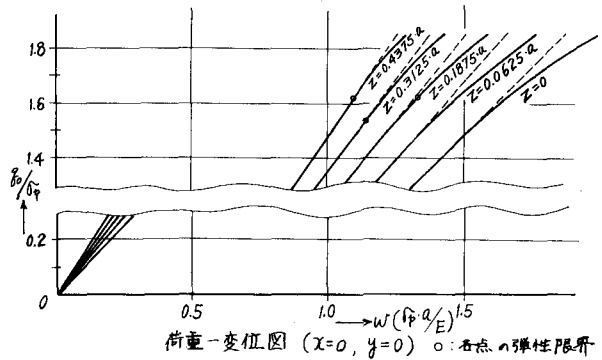


図-5

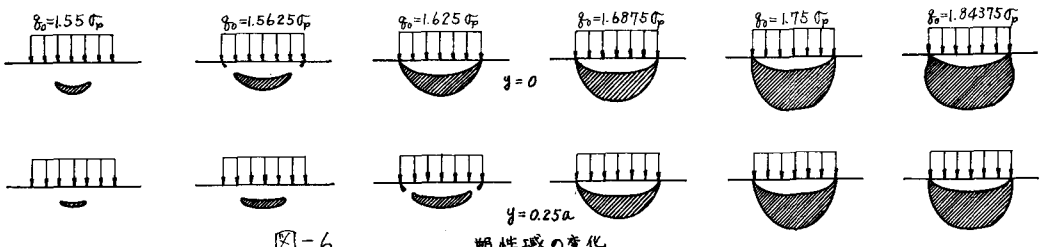


図-6

塑性域の変化

図-6に見るように、塑性化が進むにつれて臨界面の下端は球状になり、さらに塑性域の下方への拡大が停滞し、側方へふくれ出ようとすむ傾向を持つ。載荷面の直下には弾性域が残存するが、かなり扁平な形である。図-5は変位を示したものである。載荷面の中心点の変位は、弾性勾配より若干傾斜した形で増加していくが、図の状態では大きな流動は生じていない。これは、非圧縮性に近くなっている塑性域を、外側の弾性部分が包みこんでいるためではないかと思う。ところで、本解法は基本的に連続解を用いていくので、本例題では、連立方程式を形成する未知量は塑性化した点のみである。目下、この解法を発展させたための検討を続けており、機会があれば報告したい。